

HTC 2325 S/O PC.225

CONO IN REFRATTARIO

HTC 2325 S/O PC - MV Ø225

Potenzialità massima [kW]		2325
Pressione combustibile alla potenzialità massima (misurata sulla presa P _{1,F} - pag. 2) [mbar]	Gas naturale (8250 kcal/Nm ³)	42
	GPL (22500 kcal/Nm ³)	
Pressione aria alla potenzialità massima (misurata sulla presa P _{1,A} - pag. 2) [mbar]	Gas naturale (8250 kcal/Nm ³)	64
	GPL (22500 kcal/Nm ³)	
Lunghezza fiamma alla massima potenzialità (misurata dall'estremità del corpo bruciatore) [mm]	Gas naturale (8250 kcal/Nm ³)	2000
	GPL (22500 kcal/Nm ³)	
Velocità di fiamma alla potenza massima (calcolata al 20% di eccesso d'aria) [m/s]	Media velocità	95
Rilevazione fiamma	Elettrodo a ionizzazione o cellula UV	
Combustibili utilizzati	Gas naturale, GPL	

Tutte le informazioni sono basate su test di laboratorio in camera a pressione neutra. Differenti condizioni e dimensioni di camera possono incidere sui dati.

Tutte le informazioni sono basate su progettazione di un combustore standard.

Modifiche al combustore altereranno la performance e le pressioni.

Tutti i dati sono basati su valori calorici lordi.

Tutte le informazioni sono basate su prove relative a impiantistica di tubazioni d'aria e di gas generalmente accettabili.

I dati riportati su questo foglio tecnico possono subire variazioni senza preavviso.

I dati espressi sono puramente indicativi e non sono vincolanti.

ELCO si riserva il diritto di modificare la costruzione e/o la configurazione dei propri prodotti in ogni momento.

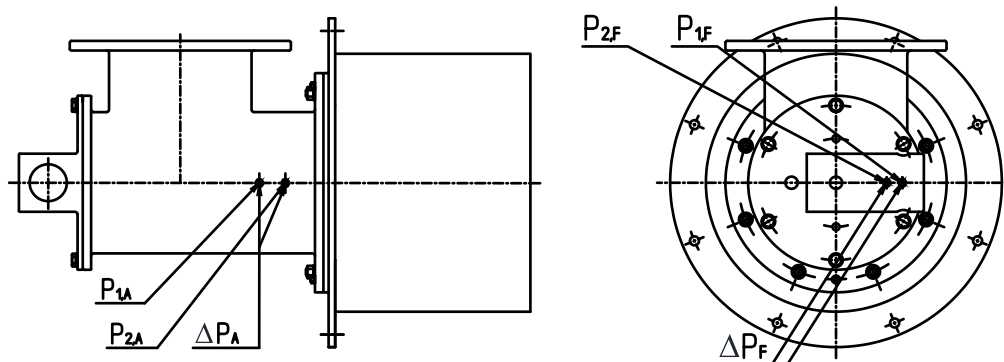
CARATTERISTICHE DEL BRUCIATORE

Combustibile 1: CH₄
Diafr. combustibile 1: Ø42

Combustibile 2: LPG
Diafr. combustibile 2: Ø26

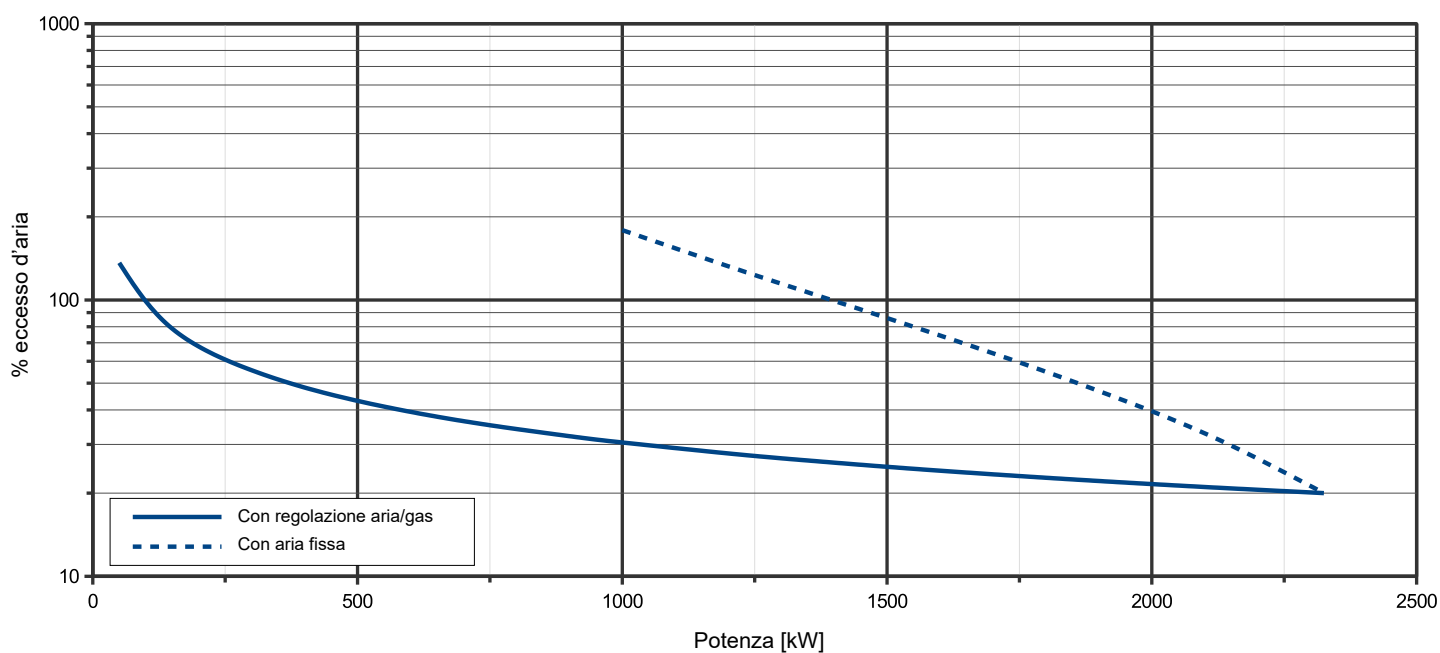
Comburente: aria
Diafr. comburente: Ø170

Cono: Ø225



CAMPO DI FUNZIONAMENTO

Campo di funzionamento tipico



SIMBOLOGIA

Q_F Portata combustibile
 Q_A Portata aria

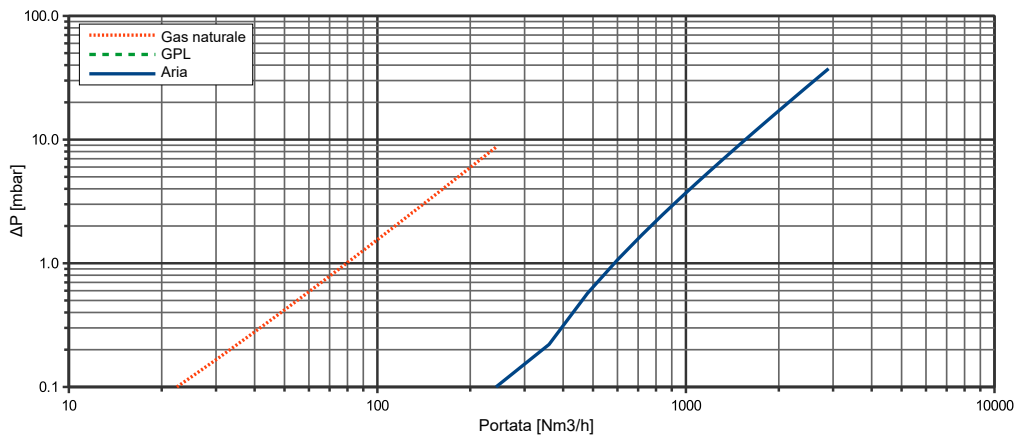
$P_{1,F}$ Pressione combustibile a monte del diaframma
 $P_{1,A}$ Pressione aria a monte del diaframma
 $P_{2,F}$ Pressione combustibile a valle del diaframma
 $P_{2,A}$ Pressione aria a valle del diaframma

ΔP_F Differenza di pressione combustibile tra le prese 1 e 2
 ΔP_A Differenza di pressione aria tra le prese 1 e 2

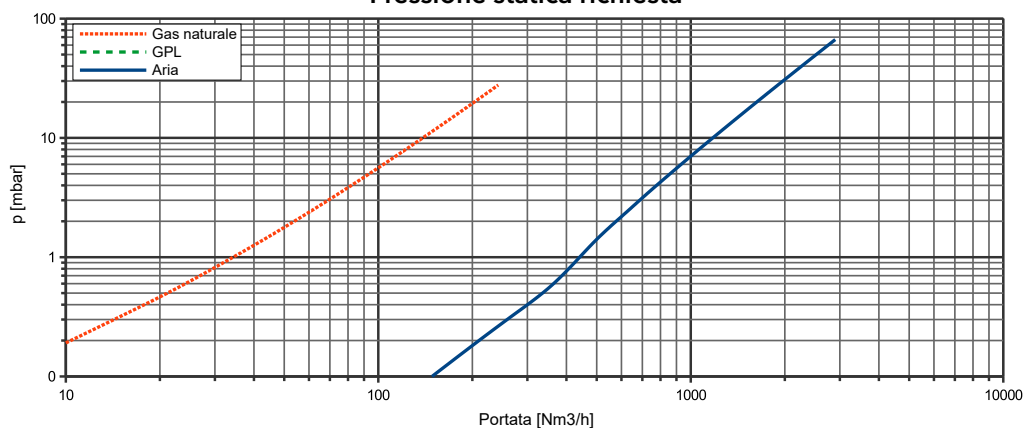
CURVE DI PORTATA

Q_F [Nm ³ /h]	FUEL			
	$P_{1,F}$ [mbar]		ΔP_F [mbar]	
	Natural gas	LPG	Natural gas	LPG
10	0.19		0.03	
20	0.46		0.08	
30	0.82		0.17	
40	1.26		0.28	
50	1.78		0.42	
60	2.38		0.59	
70	3.07		0.79	
80	3.83		1.01	
90	4.68		1.27	
100	5.61		1.55	
110	6.63		1.86	
120	7.72		2.20	
130	8.90		2.57	
140	10.16		2.97	
150	11.51		3.40	
160	12.93		3.85	
170	14.44		4.33	
180	16.03		4.85	
190	17.70		5.39	
200	19.46		5.95	
210	21.29		6.55	
220	23.21		7.18	
230	25.21		7.83	
242	27.72		8.65	

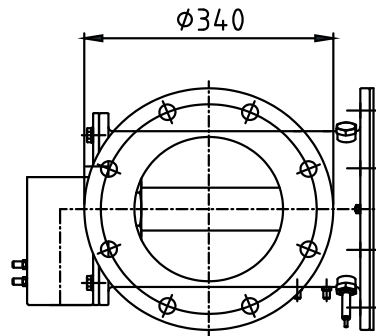
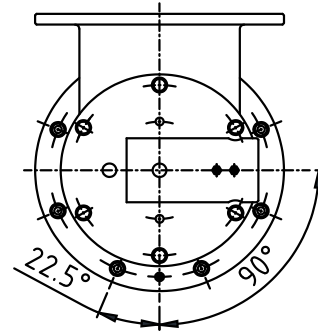
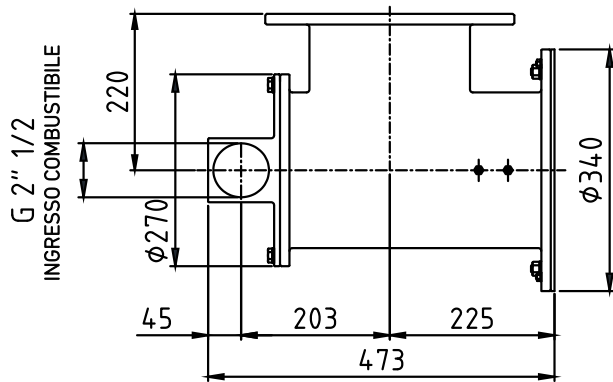
Q_A [Nm ³ /h]	AIR	
	$P_{1,A}$ [mbar]	ΔP_A [mbar]
120	0.06	0.02
240	0.26	0.10
360	0.58	0.22
480	1.27	0.57
600	2.19	1.06
720	3.35	1.70
840	4.76	2.47
960	6.41	3.38
1080	8.31	4.43
1200	10.44	5.61
1320	12.82	6.94
1440	15.44	8.41
1560	18.31	10.02
1680	21.42	11.76
1800	24.77	13.65
1920	28.36	15.68
2040	32.19	17.84
2160	36.27	20.14
2280	40.59	22.59
2400	45.15	25.17
2520	49.96	27.89
2640	55.01	30.75
2760	60.30	33.76
2900	66.78	37.43



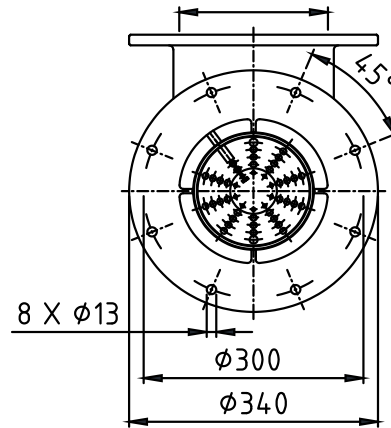
Pressione statica richiesta



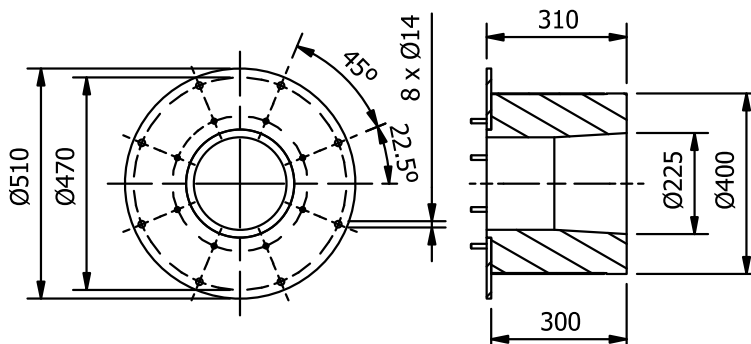
DIMENSIONI [mm]



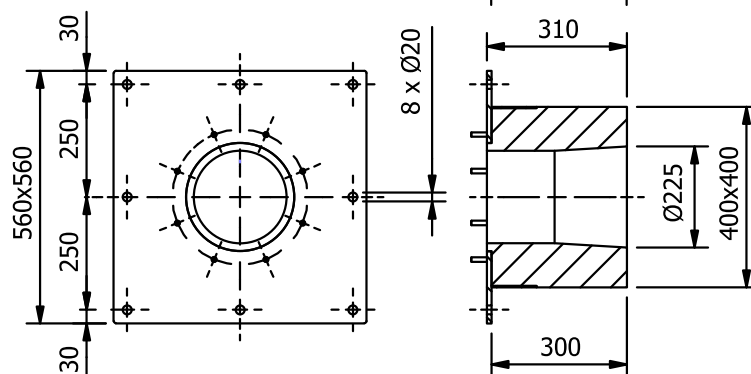
DN 200 PN16 Ø 210
INGRESSO ARIA COMBURENTE



CONO IN REFRATTARIO:



Flangia rotonda



Flangia quadrata